# قياس ودراسة تراكيز غاز الرادون المشع في عينات منتخبة من ماء الشرب في مدينة الحلة/ العراق

خالد حسين هاتف العطية إنعام هاني كاظم الخفاجي جامعة بابل / كلية العلوم / قسم الفيزياء

#### الخلاصة:

تناول هذا البحث قياس تركيز غاز الرادون المشع في نماذج من ماء الشرب في مدينة الحلة فقد تم جمع 41 عينة من مناطق مختلفة من الحلة في محافظة بابل / وسط العراق وقد استخدم كاشف الرادون الالكتروني 41  ${\rm Bq.L^{-1}}$   ${\rm A}_{\rm Fq}$  وتم حساب معدل تركيز الرادون ومعدل الانحراف المعياري وكان أعلى تركيز في  ${\rm Eq.L^{-1}}$   ${\rm A}_{\rm Fq}$  وقل تركيز في  ${\rm Eq.L^{-1}}$   ${\rm A}_{\rm Fq}$  (0.0014)  ${\rm Eq.L^{-1}}$  وكان معدل تركيز الرادون  ${\rm Eq.L^{-1}}$   ${\rm Eq.L^{-1}}$  (0.115 ± 0.048) وكان معدل تركيز الرادون  ${\rm Eq.L^{-1}}$  (0.048)

#### **Abstract**

This research measuring the radioactive gas radon in samples of drinking water in the city of Hilla, have been collecting 41 samples from different regions of Hillah in Babylon /central of Iraq has been the use a electronic detector of radon (RAD7) was calculated average radon concentration and the average of standard deviation and the highest concentration in  $A_{39}$  (0.193  $\pm$  0.0211 )Bq.L<sup>-1</sup> and less concentration in  $A_{43}$  (0.0361 $\pm$  0.00014) Bq.L<sup>-1</sup> and the average of radon concentration (0.115  $\pm$  0.048) Bq.L<sup>-1</sup>, and the annual effective dose was 0.413mSv.y<sup>-1</sup>.

المقدمة المقدمة

الرادون -222 هو احد عناصر الجدول الدوري ويقع ضمن مجموعة العناصر النبيلة (Noble gases) (الهيليوم-النيون-الزينون وغيرها) وهو غاز غير مرئي وعديم الطعم والرائحة، يتولد هذا العنصر ضمن مرحلة وسطية من مراحل إنحلال اليورانيوم- 238 والتي تتضمن علاوة على الرادون توليد عدة عناصر مشعة أخرى لتنتهي سلسلة الانحلالات هذه بعنصر الرصاص، كما في المعادلة رقم (١) (J.M.Reid,1986)حيث α هي جسيمة الفا

وهو من الغازات الخاملة كيميائياً وعدده الذري ٨٦ والعدد الكتلي لنظيره الأكثر استقراراً هو ٢٢٢ وتبلغ وهو من الغازات الخاملة كيميائياً وعدده الذري ٨٦ ولاحة  $^{\circ}$   $^{\circ}$ 

( $^{219}$ Rn) ومن المتعارف عليه في الدراسات الجيولوجية والبيئية هو النظير  $^{222}$ Rn ومن المتعارف عليه في الدراسات الجيولوجية والبيئية هو النظير  $^{219}$ Rn ومن المتعارف عليه في الدراسات الأخرين الأخرين  $^{220}$ Rn ومن النصفي المكن إهمال دور النظيرين الأخرين الأخرين  $^{220}$ Rn ومن النصفي ( $^{219}$ Rn).

إن الرادون يؤدي إلى مخاطر صحية عن طريق مسارين هما استنشاق الرادون ونواتج تحلله بعد تحرره من الماء إلى هواء المنازل و النتاول المباشر لغاز الرادون في مياه الشرب ، إن خطر الإصابة بسرطان الرئة ناتج من استنشاق نواتج اضمحلال الرادون، فالرادون لم يكن مرتبط بأي مرض آخر أكثر من السرطان ومخاطر الاستنشاق قد تتجاوز ابعد بكثير من الابتلاع (H.Semat, et al, 1972).

لكون جسيمات ألفا المنبعثة من الرادون ونواتج تحلله جسيمات ثقيلة ومشحونة فإنها تحدث عند تصادمها مع ذرات الخلايا المكونة لأنسجة وأعضاء الجسم تأثيرات واضطرابات كبيرة فيها، فضلاً عن التأثيرات الكيميائية على المستوى الجزيئي. ويقدّر متوسط طول مسار جسيمات ألفا في الأنسجة الرخوة بحدود  $40\mu$ . كما أن طاقتها التأينية تزيد بأكثر من 100 مرة على طاقة جسيمات بيتا وهي بذلك تكون أكثر تدميراً للأنسجة البشرية، ومن هنا تأتي مخاطر التعرض للرادون 222 ونواتج تحلله. وعلاوة على ما تقدم فان جزءاً من الجرعة المكافئة الفعالة السنوية التي يتعرض لها الأشخاص المتواجدون في بيئة ذات خلفية إشعاعية اعتيادية تقدر بحدود  $2msv.y^{-1}$  بمعدل  $2msv.y^{-1}$  بمعدل  $2msv.y^{-1}$  بمعدود  $2msv.y^{-1}$ 

أجريت دراسات عديدة في مختلف مناطق العالم لتحديد مستويات التعرض لغاز الرادون ، فقد قام ( مرتضى, 2003 ) بدراسة النشاط الإشعاعي للمياه الجوفية والسطحية في محافظة بابل وتمكن من حساب تركيز الرادون من خلال حساب تركيز الراديوم في النماذج المقاسة باستخدام كاشف الجرمانيوم عالى النقاوة ، وكذلك استخدم (صباح ،٢٠٠٤) (34) عينة من مياه طبيعية أخذت من مشاريع إسالة المياه والآبار الجوفية والعيون النقية والمعدنية فضلا عن مياه الأمطار في محافظة نينوى لقياس تركيز الرادون باستخدام كاشف الأثر النووي CR-39 ، في حين درس (ياسر ، وآخرون ،2009) حساب تركيز الرادون والراديوم في نماذج مختارة من البن باستخدام كاشف CR-39 ، كما قام ( يونس وآخرون ،٢٠٠٩) بتحديد تركيز الرادون في مركز محافظة ميسان باستخدام كواشف الأثر النووية 39-CR، في حين درس (على وآخرون,2011) قياس تركيز الرادون في التربة في 15 موقع من مدينة النجف الاشرف باستخدام RAD7 ، أما في إيران فقد قام )etal,2009)A.Binesh, بدراسة تركيز غاز الرادون في عينات من مياه الشرب في مدينة مشهد عن طريق نظام القياس PRASSI ، وفي غانا أجرى (2010, E. O. Darko, et al ,2010) ، وفي غانا أجرى المياه الجوفية لتحديد تركيز الرادون وذلك باستخدام مطياف كاما ، وفي العام نفسه تمكن الباحث ( 2010, ... et alMehra ) من دراسة تركيز غاز الرادون للهواء داخل المبانى وفي ماء الشرب باستخدام (RAD7)، وكذلك في الخرطوم قام (H.Idriss, et al,2011) بدراسة مياه الشبكة العامة والمياه الجوفية لتحديد تركيز الرادون والتعرض السنوي للإشعاع وذلك باستخدام كاشف الجرمانيوم عالى النقاوة HPGe ، وفي باكستان قام (N. U. Khattak, etal, 2011) بدراسة تركيز غاز الرادون في مياه الشرب في جامعة باستخدام RAD7 ، أما في استراليا فقد قدمت دراسة من قبل )et al ,2011)H. Hofmann, لقياس تركيز الرادون في المياه الجوفية باستخدام RAD7 ، وفي الهند أجرى (R. Mehra, et al ,2011 ) دراسة لقياس تركيز غاز الرادون في المياه الجوفية لقرى ومدن محافظة بنجاب باستعمال RADH2O ، كذلك أجرى (2011, et alG.Dipak ) دراسة لقياس تركيز غاز الرادون في مياه الآبار في موقع جالبيجوري بالقرب من منطقة

صدع في ولاية البنغال الغربية، كما قام (R. Baldık, et al,2011) بدراسة تركيز الراديوم -٢٢٦ والرادون- ٢٢٢ في التربة والمياه السطحية في ٢٠ مبنى في تركيا وذلك باستخدام كاشف ٢٣٠- CR.

#### The Aim of Research

### الهدف من البحث

يهدف البحث الحالي إلى قياس ودراسة تركيز غاز الرادون المشع في المياه الصالح للشرب لمناطق مختلفة من مدينة الحلة لعدم وجود دراسات سابقة في منطقة الدراسة ، وينبع الاهتمام بالرادون كونه مصدرا خطرا على صحة الناس بسبب اتساع نطاق انتشاره في التربة ومواد البناء والمياه الجوفية وكذلك لا تخلو مياه شبكات إسالة المياه في بعض المناطق من هذا الغاز .

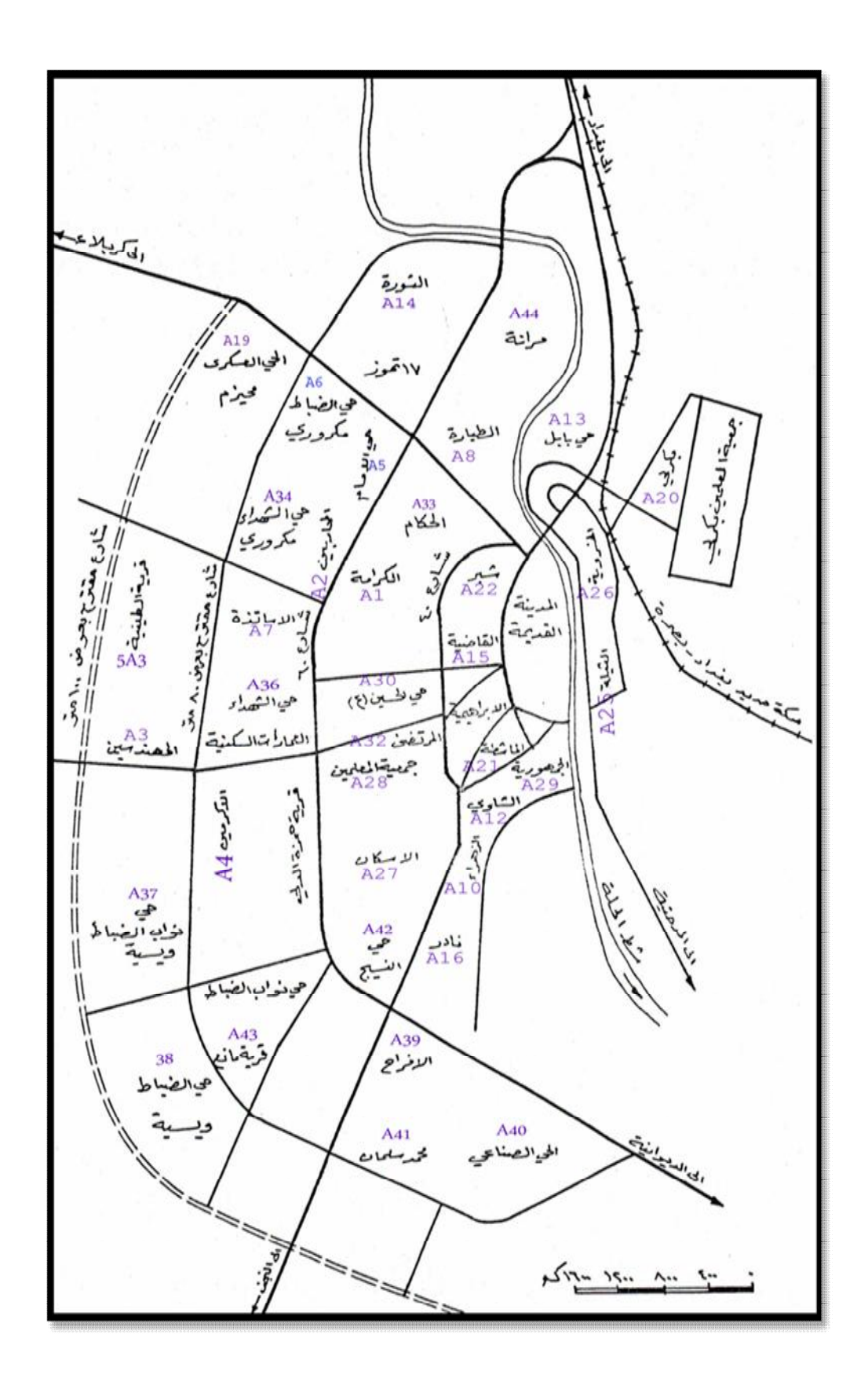
## Location of the study area

## موقع الدراسة

تقع منطقة الدراسة في محافظة بابل في وسط العراق ضمن منطقة السهل الرسوبي ، إذ يحصرها خطا الطول (42 °3 (50) و (50 °45) شمالاً، وتشغل الطول (42 °45) و (50 °45) شرقاً ، كما أنها تقع بين دائرتي خط عرض (7 °32) و (30 °45) شمالاً، وتشغل الجزء الشمالي من منطقة الفرات الأوسط كما موضح في شكل (١) . وتقع مدينة الحلة بين النجف وبغداد ، فهي تبعد عن بغداد نحو ١٠٠ كم .

Measurements القياسات

إن الجهاز المستخدم في هذا البحث هو RAD7 ملحق RADH2O صنع في شركة , كالمخصص لقياس غاز الرادون في الماء بدقة عالية ولمدى واسع من التراكيز وللحصول على قراءات ضمن ساعة من اخذ العينة وغالبا ما تكون النتائج المطلوبة فورية واهم ميزة في هذا الجهاز هو قدرته على ضمن ساعة من اخذ العينة وغالبا ما تكون النتائج المطلوبة فورية واهم ميزة في هذا الجهاز هو قدرته على تحديد طاقة جسيمة الفا الكترونيا وهذا يجعل من الممكن التمييز بين نظائر الرادون (البولونيوم-٢١٨ والبولونيوم-٢١٢ و ...الخ) وبين الرادون والثورون وهذه التقنية تعرف بمطياف الفا ، ويجب تجفيف (purging) كاشف RAD7 بهواء جديد لمدة عشرة دقائق وذلك بربط وحدة التجفيف في حلقة مغلقة مع RAD7 لذا الهواء الخارج يمر عبر عجر عبر Desiccant ويعود إلى الداخل ويلاحظ دائما بان تدفق الهواء يكون بنفس الطريق خلال الخارج يمر عبر العينة ويتم تسليمه إلى غرفة القياس فيRAD7 ومن ثم يتوقف RAD7 وينتظر لأكثر من

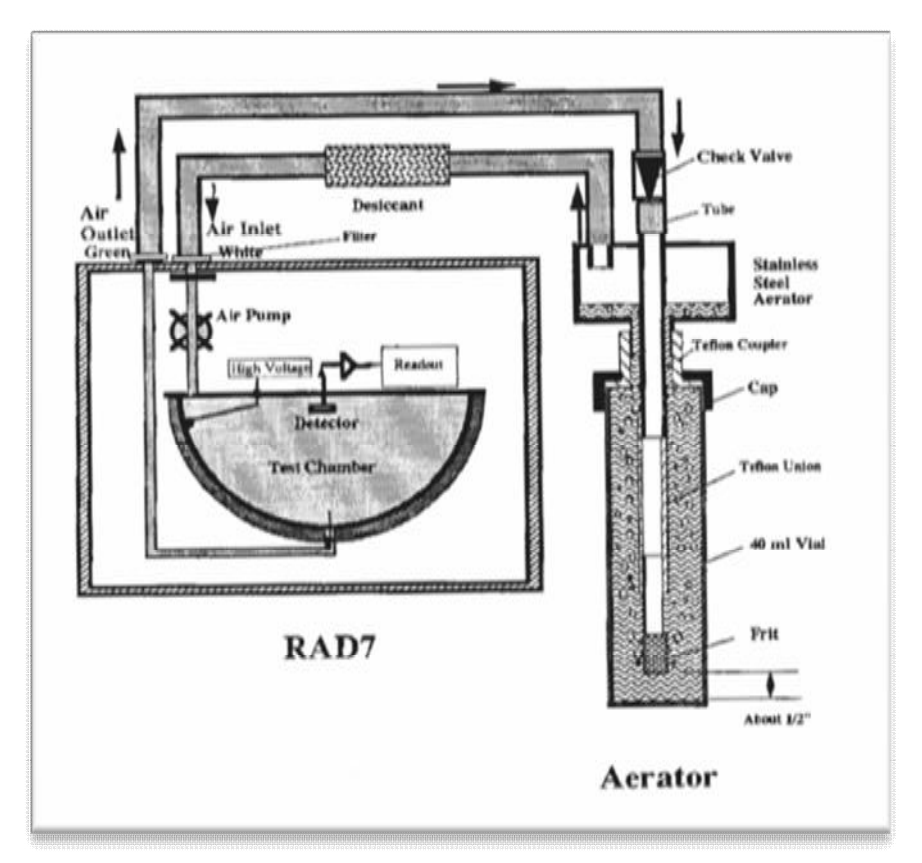


شكل (١) خارطة مدينة الحلة في منطقة الدراسة ( المرئية الفضائية، ٢٠٠٥)

خمسة دقائق ليصل حالة التوازن ومن ثم يكرر لأربع دورات لمدة خمسة دقائق للدورة الواحدة وبذلك تبلغ مدة الاختبار الكلية 30 دقيقة وفي نهاية كل تشغيل سيطبع RAD7 الخلاصة المتضمنة متوسط تركيز الرادون الانحراف المعياري وقراءة نسبة الرطوبة ودرجة الحرارة داخل الجهاز وتاريخ وزمن إجراء الاختبار بالإضافة إلى رقم التشغيل وعدد الدورات ثم يعطي المخطط البياني لأربع دورات والطيف المتراكم ، حيث تكون كفاءة الانتزاع أو (نسبة إزالة الرادون) من الماء في حلقة الهواء هي عالية جدا في عينة بحجم 250mL تكون (۲ b) و ( ۲ b) الرسم التخطيطي لـRADH<sub>2</sub>O,2011)



(,www.durridge.com)RAD7 متصل مع RAD H2O يبين ( ۲a ) يبين



(www.durridge.com) RADH<sub>2</sub>O شكل (۲ b) رسم تخطيطي

وتم حساب الجرعة المكافئة السنوية للتعرض لغاز الرادون باستخدام المعادلة (٢)

$$D_{w} = C_{w} \ CR_{w} \ D_{cw}$$
 (2) حيث إن:  $D_{w}$  : الجرعة المكافئة السنوية ( $Sv.y^{-1}$ ) الجرعة المكافئة السنوية ( $C_{w}$ ) تركيز الرادون في الماء ( $Bq.L^{-1}$ ) مقدار الاستهلاك ( $C_{w}$ ) مقدار الاستهلاك ( $C_{w}$ ) عمامل تحويل الجرعة للرادون ( $C_{w}$ ) عمامل تحويل الجرعة للرادون ( $C_{w}$ ) عمامل تحويل الجرعة للرادون ( $C_{w}$ )

### Results and discussion

## النتائج والمناقشة

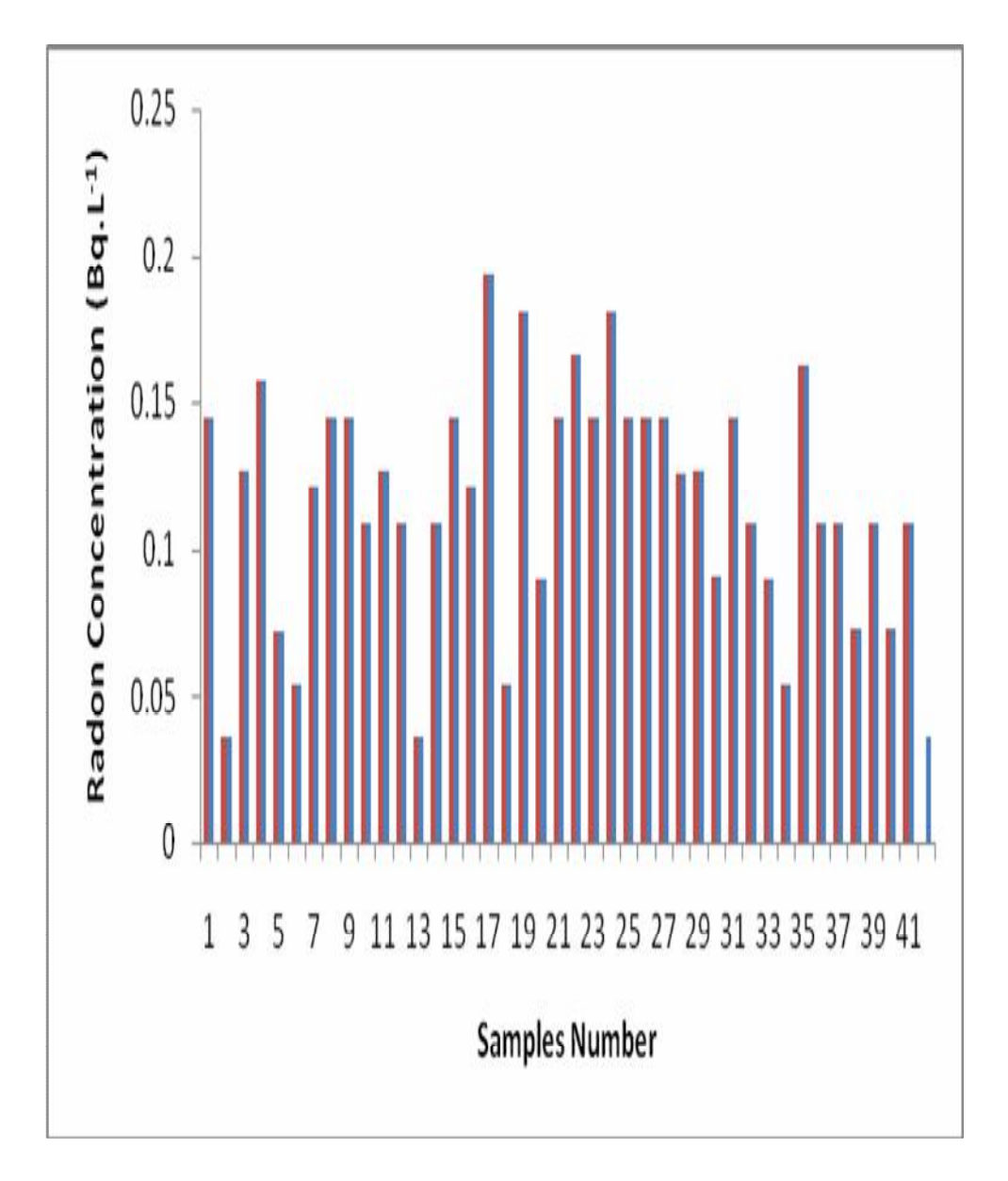
، Area يوضح الجدول (1) النتائج التي تم الحصول عليها في هذه الدراسة حيث إن A تشير إلى Area يوضح الجدول (1) النتائج التي تم الحصول عليها في هذه الدراسة حيث إن A النتائج التي تم النتائج التي تم الخصول عليها في المتوسط التركيز الرادون وجميعها نقاس Mean يوحدة A [Bgreal/liter]. Bg.L-1

# جدول (١) تراكيز غاز الرادون المشع في عينات من المياه

Sample Point	Mean (Bq.L <sup>-1</sup> )	High (Bq.L <sup>-1</sup> )	Low (Bq.L <sup>-1</sup> )	Effective dose(mSv.y <sup>-1</sup> )	Samples location (GPS)
A23 محطة حي الطيارة	$0.145 \pm 0.037$	$0.181 \pm 0.139$	$0.108 \pm 0.139$	0.635	N 32°,29′, 47. 2″ E 44°,25′,24.3″
A24 محطة حي العسكري	$0.0362 \pm 0$	$0.0362 \pm 0.0724$	$0.0362 \pm 0.0724$	0.158	N 32°,26′,54.8″ E 44°,24′,49.6″
A25 محطة حي الأكرمين	$0.127 \pm 0.027$	$0.181 \pm 0.138$	$0.0724 \pm 0.0836$	0.556	N 32°,28′, 10. 1″ E 44°,24′,11.2″
A26 حي الكرامة	•.157 ± 0.0549	$0.217 \pm 0.145$	$0.109 \pm 0.217$	0.687	N 32°, 29′, 26. 0″ E 44°, 25′, 09.6″
 A27 حي الحكام	0.0723 ± 0.00014	$0.0724 \pm 0.0836$	$0.0722 \pm 0.0834$	0.316	N 32°,24′, 40. 5″ E 44°,25′,36.7″
A28 حى الطيارة	$0.0542 \pm 0.0255$	$0.0722 \pm 0.0834$	$0.0362 \pm 0.0724$	0.237	N 32°,29′, 44. 5″ E 44°,25′,32.5″
A29 الثورة	$0.121 \pm 0.0836$	$0.217 \pm 0.0832$	$0.072 \pm 0.144$	0.529	N 32°,30′, 20. 7″ E 44°,25′,09.4″
Sample Point	Mean (Bq.L <sup>-1</sup> )	High (Bq.L <sup>-1</sup> )	Low (Bq.L <sup>-1</sup> )	Effective dose(mSv.y <sup>-1</sup> )	Samples location (GPS)
A30 ۱۷ تموز	$0.145 \pm 0.1022$	$0.217 \pm 0.187$	$0.0724 \pm 0.145$	0.635	N 32°,30′, 08. 0″ E 44°,25′,01.5″
A31 أبو خستاوي	$0.145 \pm 0.1022$	$0.217 \pm 0.187$	$0.0724 \pm 0.145$	0.635	N 32°,30′, 37. 8″ E 44°,24′,12.2″
A32 المحاربين	$0.109 \pm 0.0515$	$0.145 \pm 0.00039$	$0.072 \pm 0.0834$	0.47742	N 32°,29′, 26. 7″ E 44°,24′,49.2″
A33 حي الأساتذة	$0.127 \pm 0.0255$	$0.145 \pm 0.118$	$0.109 \pm 0.139$	0.55626	N 32°,28′, 52. 9″ E 44°,24′,32.6″
A34 شار ع الحسينية	$0.109 \pm 0.0514$	$0.145 \pm 0.205$	$0.0722 \pm 0.0834$	0.47742	N 32°,28′, 39. 0″ E 44°,24′,31.5″
A35 حي الحسين	0.0361 ± 0.00014	$0.0362 \pm 0.0724$	$0.036 \pm 0.072$	0.158118	N 32°,28′, 51. 2″ E 44°,25′,06.7
A36 القاضية	$0.109 \pm 0.0513$	$0.145 \pm 0.118$	$0.0724 \pm 0.0836$	0.47742	N 32°,28′, 59. 8″ E 44°,25′,34.9″
A37 مصطفی راغب	$0.145 \pm 0.0502$	$0.18 \pm 0.273$	$0.109 \pm 0.0724$	0.6351	N 32°,28, 47. 1" E 44°,25′,36.1"
A38 حي شبر	$0.121 \pm 0.1162$	$0.253 \pm 0.139$	$0.036 \pm 0.072$	0.52998	N 32°,29′, 09. 7″ E 44°,25′,39.1″
A39 حي الماشطه	$0.193 \pm 0.0211$	$0.217 \pm 0.345$	$0.180 \pm 0.072$	0.84534	N 32°,28′, 22. 3″ E 44°,25′,28.7″
A40 حي الإمام	$0.0542 \pm 0.0255$	$0.0722 \pm 0.0834$	$0.0362 \pm 0.0724$	0.237396	N 32°, 29′, 49. 4″ E 44°,24′,39.7″
A41 محيزم	$0.181 \pm 0.0509$	0.217± 0.187	$0.145 \pm 0.167$	0.79278	N 32°,29′, 47. 1″ E 44°,24′,23.2″
A42 حي الضباط	$0.09 \pm 0.0764$	$0.144 \pm 0.118$	$0.036 \pm 0.072$	0.3942	N 32°,30′, 22. 2″ E 44°,24′,32.0″
A43 حي الأمير	$0.145 \pm 0.1028$	$0.217 \pm 0.187$	$0.0722 \pm 0.0834$	0.6351	N 32°,27′, 50. 8″ E 44°,25′,27.8″

A 4.4					NI 220 271 47 0#
A44 حي الز هراء	$0.166 \pm 0.022$	$0.181 \pm 0.0725$	$0.15 \pm 0.125$	0.72708	N 32°,27′, 47. 8″ E 44°,25′,40.9″
Sample Point	Mean (Bq.L <sup>-1</sup> )	High (Bq.L <sup>-1</sup> )	Low (Bq.L <sup>-1</sup> )	Effective dose(mSv.y <sup>-1</sup> )	Samples location(GPS)
A45 الشاوي	$0.145 \pm 0.036$	$0.181 \pm 0.139$	$0.145 \pm 0.118$	0.6351	N 32°,28′, 07. 2″ E 44°,25′,45.9″
A46 نادر الأولى	$0.181 \pm 0.0509$	$0.217 \pm 0.145$	$0.145 \pm 0.118$	0.79278	N 32°,27′, 31. 2″ E 44°,25′,36.3″
A47 نادر الثانية	$0.145 \pm 0.0516$	$0.181 \pm 0.139$	$0.108 \pm 0.0723$	0.6351	N 32°,27′, 15. 2″ E 44°,25′,29.4″
A48 نادر الثالثة	$0.145 \pm 0.0509$	$0.181 \pm 0.139$	$0.109 \pm 0.139$	0.6351	N 32°,26′, 51. 3″ E 44°,25′,35.2″
A49 حي المرتضى	$0.145 \pm 0.0516$	$0.181 \pm 0.138$	$0.108 \pm 0.0723$	0.6351	N 32°,28′, 09. 2″ E 44°,25′,21.4″
A50 الإسكان	$0.126 \pm 0.0256$	$0.144 \pm 0.118$	$0.108 \pm 0.138$	0.55188	N 32°,27′, 56. 8″ E 44°,25′,24.9″
A51 الجمعية	$0.127 \pm 0.128$	$0.217 \pm 0.345$	$0.036 \pm 0.072$	0.55626	N 32°,28′, 16. 6″ E 44°,24′,51.8″
A52 خسرویه	·.•91 ± 0.026	$0.109 \pm 0.0724$	$0.0722 \pm 0.0834$	0.39858	N 32°,29′, 25. 2″ E 44°,26′,19.5″
A53 الثيله	$0.145 \pm 0.0885$	$0.253 \pm 0.0722$	$0.0362 \pm 0.0724$	0.6351	N 32°,28′, 40. 6″ E 44°,26′,35.2″
A54 حي الصحة	$0.109 \pm 0.0513$	$0.145 \pm 0.118$	$0.0724 \pm 0.145$	0.47742	N 32°,30′, 10. 0″ E 44°,26′,02.4″
A55 حي الجزائر	$0.0902 \pm 0.0252$	$0.108 \pm 0.139$	$0.0724 \pm 0.0836$	0.395076	N 32°,30′, 50. 8″ E 44°,26′,33.3″
A56 حي بابل	•.•543 ± 0.0256	$0.0724 \pm 0.0836$	$0.0362 \pm 0.0724$	0.237834	N 32°,29′, 38. 0″ E 44°,25′,59.6″
A57 حي المهندسين	$0.163 \pm 0.0255$	$0.181 \pm 0.217$	$0.145 \pm 0.205$	0.71394	N 32°,27′, 23. 3″ E 44°,24′,16.9″
A58 حي الأكرمين	$0.109 \pm 0.096$	$0.217 \pm 0.186$	$0.0362 \pm 0.0724$	0.47742	N 32°,28′, 01. 4″ E 44°,24′,07.7″
A59 حي المعلمين	$0.109 \pm 0.0513$	$0.145 \pm 0.167$	$0.0724 \pm 0.0836$	0.47742	N 32°,28′, 08. 3″ E 44°,24′,00.2″
Sample Point	Mean (Bq.L <sup>-1</sup> )	High (Bq.L <sup>-1</sup> )	Low (Bq.L <sup>-1</sup> )	Effective dose(mSv.y <sup>-1</sup> )	Samples location(GPS)
A60 حي العسكري	$0.0726 \pm 0.0515$	$0.109 \pm 0.0724$	$0.0362 \pm 0.0724$	0.317988	N 32°,26′, 58. 9″ E 44°,24′,45.4″
A61 الجمهورية	$0.109 \pm 0.00071$	$0.109 \pm 0.139$	$0.108 \pm 0.216$	0.47742	N 32°,28′, 20. 7″ E 44°,26′,17.3″
A62 حي البكر لي	$0.0725 \pm 0.0359$	$0.108 \pm 0.0723$	$0.0362 \pm 0.0724$	0.31755	N 32°,29′, 37. 2 E 44°,26′,40.2″
A63 کریطعه	$0.109 \pm 0.0513$	$0.145 \pm 0.118$	$0.0724 \pm 0.0836$	0.47742	N 32°,28′, 29. 4″ E 44°,25′,55.9″
منظومة	$0.0362 \pm 0.00009$	$0.0362 \pm 0.0724$	$0.036 \pm 0.072$	0.158556	

بينت نتائج الفحص التي أخذت من مصادر مختلفة من أحياء مدينة الحلة بان هناك تباين في نتائج القياس لنماذج المياه باختلاف مواقعها كما موضح في شكل (٣) ويعزى سبب ذلك إلى اختلاف الطبيعة الجيولوجية لكل منطقة حيث يتراوح مدى تركيز الرادون في أماكن الدراسة من (0.193±0.0211) -الرادون في تركيز لغاز الرادون في الجدول (1) إذ يظهر إن أعلى تركيز لغاز الرادون في  $(0.0361\pm0.00014)$ 0.0362 ) Bq.L $^{-1}$  ومن ثم و  $A_{\circ}$  وكذلك و  $A_{\circ}$  أما بقية المناطق فتتراوح بين  $A_{\circ}$  ومن ثم و  $A_{\circ}$  وكذلك و  $A_{\circ}$ وقد أخذت عدة نماذج من منظومة تتقية الماء ووجد إن تركيز الرادون بها  $(0.145 \pm 0.0885 \pm 0.0885)$ 0.048) Bq.L<sup>-1</sup> وعليه فان معدل تركيز الماء الصالح للشرب ( $0.0362 \pm 0.00009$ ) Bq.L<sup>-1</sup> بحدود ± 0.115) وهو اقل من الحد المسموح به من قبل وكالة حماية البيئة الأمريكية (EPA) التي اقترحت إن الحد الأعلى المسموح لتركيز الرادون في الماء هو H.Semat,et al, 1972) ۱۱ Bq.L-1 ويعزى سبب ذلك إلى أنه عادة يتم حفظ مياه الشبكة العامة من أجل المعالجة ومن ثم التخزين وبعد ذلك التوزيع، الوقت الذي يتفكك فيه الرادون ونواتج تفككه المنحل في الماء قبل أن يصل إلى الأبنية(صباح ٢٠٠٤،)، في حين اقترحت (UNSCEAR) لجنة الأمم المتحدة لتأثيرات الإشعاع الذري بان قيمة تركيز الرادون في الماء بحدود °-Bq.m ك- ٤ - ٤ ، وقد أوصت اللجنة الأوربية لحماية الناس من التعرض للرادون في مياه الشرب بان المستوى لإمدادات المياه العامة 100 Bq.L-1 أما بالنسبة لتركيز غاز الرادون في الهواء فقد أوصت لجنة الوقاية من الإشعاعات بان معدل التركيز يتراوح بين ٤٠٠-٢٠٠ Baldık ,etal,2011 ) ٤٠٠-٢٠٠ (Baldık ,etal,2011 ) .(R



شكل (٣) يوضح اختلاف تركيز الرادون في عينات الماء

وبمقارنة نتائجنا مع نتائج دراسات أخرى أجريت لأنواع من المياه من مصادر مختلفة فقد أجريت دراسة في بابل من قبل (مرتضى، ٢٠٠٣) اثبتت فحوصات المياه السطحية ان النشاط الإشعاعي للنماذج المقاسة هو دون مستوى تحسس الجهاز في حين هناك تباين في النشاط الإشعاعي لنماذج المياه الجوفية للنظائر حيث وجد إن الجرعة الناتجة من استهلاك المياه الجوفية عالية جدا وخاصة في مناطق الكفل والقاسم ، أما في نينوى (صباح، ٢٠٠٤) فكانت النتائج تشير إلى إن تراكيز الرادون في عينات الماء بلغت 1-12.68 (12.68) ، وقد أظهرت النتائج في إيران إن حوالي ٧٠٪ من عينات المياه لها تركيز غاز الرادون أي المياه لها تركيز غاز الرادون في المياه المياه لها تركيز غاز الرادون في المياه المياه لها تركيز غاز الرادون في المياه المياه المياه لها تركيز غاز الرادون في المياه المياه المياه المياه لها تركيز غاز الرادون في المياه المياه المياه المياه المياه المياه فقد وجد الميان تركيز غاز الرادون يتراوح بين 1-17، ١٠٠ هما في باكستان فقد وجد الجوفية حيث وجد إن تركيز غاز الرادون في مياه الشرب كانت (11 Bq.L) ، وفي تركيا أجريت (اللهون تركيز غاز الرادون في مياه الشرب كانت (11 Bq.L) ، وفي تركيا أجريت دراسة لقياس تركيز غاز الرادون في مياه الشرب كانت (8. Baldık, et al، ٢٠١١) ، وفي المياه المراسة لقياس تركيز غاز الرادون المياه المياه الشرب كانت (8. Baldık, et al، ٢٠١١)

الأنهار (H.Hofmann, et al,2011) قياس تركيز الرادون في الأنهار (H.Hofmann, et al,2011) قياس تركيز الرادون في الأنهار والجداول هو (H.Hofmann, et al,2011)

Conclusions الاستنتاجات

- ${\rm Bq.L^{-1}}$  في عينات الماء قيد الدراسة في مدينة الحلة من محافظة بابل بلغت  $^{222}{\rm Rn}$  في مدينة الحلة من محافظة بابل بلغت  $^{222}{\rm Rn}$  (  $0.115\pm0.048$  ) للعينات المستخدمة.
- $0.193\pm0.0211$  )Bq.L $^{-1}$  A $^{-1}$  A $^{-1}$  اتضح من خلال هذه الدراسة إن أعلى تركيز للرادون كان في  $0.0361\pm0.00011$  )Bq.L $^{-1}$  A43 تركيز في  $0.0361\pm0.00014$  )Bq.L $^{-1}$  A43 تركيز في
  - ٣- أن النتائج التي تم الحصول تتفق إلى حد ما مع نتائج الدراسات المنشورة.
    - 3- وجد إن الجرعة الفعالة السنوية هي 1- وجد إن الجرعة الفعالة السنوية هي 1- وجد
- ٥- إن طريقة قياس الرادون باستخدام جهاز RAD7 تحتاج إلى درجة حرارة ورطوبة معتدلة كون هذا الجهاز عمله بعتمد على الكواشف الشبه موصلة

References

المرئية الفضائية للقمر الاصطناعي لاندسات ٧ ،الحزم(1,2,3) ٢٠٠٥٠

- حسين الونداوي، (1999). "الرادون وتأثيره على البيئة والإنسان"، مجلة الذرة والتنمية، المجلد 9 ، العدد 3 ، ص41-38
- صباح يوسف حسن عكلة، "تحديد تراكيز الرادون واليورانيوم ونظائر مشعة أخرى في أنواع مختلفة من المياه الطبيعية في محافظة نينوى"، رسالة ماجستير، جامعة الموصل، 2004
- مازن حامد حسين، "قياس تراكيز غاز الرادون في التربة لمناطق مختلفة من محافظة الانبار باستخدام كاشف الاثر النووي 39-CR "، مجلة جامعة الانبار للعلوم الصرفة،العدد الثاني ،المجلد الرابع،2010
- مرتضى شاكر اسود، "أثر دراسة النشاط الإشعاعي للمياه الجوفية والسطحية والرواسب لمحافظة بابل"، رسالة ماجستير ، جامعة بابل، كلية العلوم، ٢٠٠٣
- هناء نافع عزيز نعوم، "تحديد تراكيز اليورانيوم في عدد من معاجين الأسنان باستخدام كاشف CR-39"، رسالة ماجستير ، جامعة الموصل، ٢٠٠٢
- يونس محمد عطيه،ختام عبد العادل،حميد بلاسم ماهود،محمد عبد الحسين، "تحديد تركيز الرادون في مركز محافظة ميسان باستخدام كواشف الاثر النووية 39-CR "،مجلة أبحاث البصرة ، العدد 36 ، الجزء 6، 2010
- Baldık R. H. Aytekin M. Erer," Radioactivity measurements and radiation dose assessments due to natural radiation in Karabu"k (Turkey)", J Radioanal Nucl Chem 289:297–302,DOI 10.1007/s10967-011-1077-z, 2011
- Binesh, A. S. Mohammadi, A. A. Mowlavi and P. Parvaresh," Radon Measurement in Drinking Water Samples of Mashhad City in Iran", World Congress on Medical Physics and Biomedical Engineering, September 7 12, Munich, Germany, Val. 25/3, P. 245-247, 2009
- Darko E. O. O. K. Adukpo J. J. Fletcher A. R. Awudu F. Otoo, "Preliminary studies on 222Rn concentration in ground water from selected areas of the

- Accra metropolis in Ghana ", J Radioanal Nucl Chem283:507-512 , DOI 10.1007/s10967-009-0378-y, 2010
- Hasan, A. K. Abdul.R.H.Subber\*and Ahmed R. Shaltakh," Measurement of Radon Concentration in Soil Gas using RAD7 in the Environs of Al-Najaf Al-Ashraf City-Iraq", Pelagia Research Library, Advances in Applied Science Research, 2 (5):273-278, 2011
- Hofmann , H. B.S. Gilfedder , I. Cartwright," A Novel Method Using a Silicone Diffusion Membrane for Continuous <sup>222</sup>Rn Measurements for the Quantification of Groundwater Discharge to Streams and Rivers ", Environmental Science & Technology, Vol.: 45 ,P.: 8915-8921 Provider: American Chemical Society,2011
- Idriss H. I.m Salih A. K. Sam ,"Study of radon in ground water and physicochemical parameters in Khartoum state ", J Radioanal Nucl Chem ,290:333–338 , DOI 10.1007/s10967-011-1295-4,2011
- Khattak N. U. M. A. Khan M. T. Shah M. W. Javed," Radon concentration in drinking water sources of the MainCampus of the University of Peshawar and surrounding areas, Khyber Pakhtunkhwa, Pakistan", Journal of Radioanalytical and Nuclear Chemistry, Vol.: 290, P: 493-505, Provider: Springer, 2011
- Laxmiichand N. Nagda,"Radon prevalence ,measurements, health risks", Philadelphia,PA,1994
- Mehra, R. K. Badhan, R.G.Sonkawade," Radon Activity Measurements in Drinking Water and in Indoors of Dwellings, Using RAD7", Tenth Radiation Physics & Protection Conference, Nasr City Cairo, Egypt, 2010
- Reid, J.M."The Atomic Nucleus", second edition, copyright by Manchester University Press, British Library cataloguing in publication data, 1986
- Semat, H. J.R.Albright ,"Introduction to Atomic and Nuclear Physics", fifth edition, copyright by Holt, Rinehart and Winston, Inc., 1972
- Sharma, N. R. Virk, H. S," Environmental radioactivity: A case study of Punjab, India", Advances in Applied Science Research; Vol. 2, p186-190, 2011
- Somashekar, R. K, P. Ravikumar, ". Radon concentration in groundwater of Varahi and Markandeya river basins, Karnataka State, India Journal of Radioanalytical and Nuclear Chemistry, Vol. 285 2, p343-351, 2010
- United Nations Scientific Committee on the Effects of Atomic Radiation
- (UNSCEAR), Sources and Effect of Ionizing Radiation, New York, United Nations ,1993
- , RAD7, 2011 www.durridge.com
- , RAD H<sub>2</sub>O, 2011www.durridge.com